

基礎岩盤の新しい評価法の提案 Water Power / 工藤 正・訳 土の引張り強度の測定方法について Highway Research Record / 久樂 勝行・訳 円柱に作用する揚力の実験的研究 Proc. of A.S.C.E., WW / 島田 真行・訳

基礎岩盤の新しい評価法の提案

"A New Method for Evaluating Foundations"
Christianse, L.M., Von. Thun, J.L. and G.S. Tarbox
Water Power, Vol. 23, No. 3, pp. 93~95, March (1971)

(1) はじめに

アメリカ合衆国開拓局は、カリフォルニア Auburn ダムの基礎岩盤解析で岩盤の不連続面としての節理、劈開、断口、破壊ゾーン、劈開にそった破壊、機械的な破壊面などを最大から最小まで等級分けを行ない、この等級区分を数値化したもの (Joint-Shear Index) と岩盤の定数とを関連づけて有限要素法に適用させる独自の解析方法を開発した。この方法は、他の構造物の基礎地盤についても適用できるものと考えられるので、その概要についての報告を行なう。

(2) ダムの概要

Auburn ダムは、Central Valley 計画のなかの一つとしてサクラメントの近くの American 川の支川に計画されているコンクリートアーチダムである。このダムの高さは 208 m で、堤頂長 1 200 m (これは完成すると世界最長のアーチダムとなる)、堤頂幅 12 m、ダム基礎の最大厚 60 m でありダムサイトの基礎岩盤は主として角閃岩で、右岸の中央部に変沈積岩、左岸には蛇紋岩を含んでいる。さらに両岸とも変はんれい岩がレンズ状層となって入り、岩盤の不連続面として小さな節理、せん断面、緑泥片岩の断層、滑石、断層粘土、母岩の碎屑などがある。

(3) この評価法の必要性

ダムの究極解析や、設計において、全地質特性を反映した地盤の変形係数を決めるることは非常に重要なことであり、その点、多くの地質特性を含んでいるこのダムの基礎岩盤の解析は技術者にとって興味のある問題である。

ここでの解析はすべての地質特性をとり入れられるよ

うに、有限要素法の grid が組まれ、断面は水平断面と垂直断面がとられ、二次元解析を行なっている(図-1)。

ダム全体の変形形状は基礎岩盤の地質特性を示す個々の変形係数によって定まり、この係数を変えることで、たとえば、断層の基礎処理の効果などをみることができる。したがって、基礎岩盤全体のどこへどのような係数を適用するかが問題となるが、有限要素分割の大きさに限界があるため、微少な地質特性までも直接この係数に反映させることは非常に困難である。このため、有限要素法による計算に入る前にこの微少部分の検討を行ない、それを係数に含ませることが必要となる。

一方大きな断層やせん断面についての変形係数は、現場でのジャッキテストや実験室での直径 10 cm の供試体による試験から得られる。

Auburn ダムでのジャッキテスト (直径 1.00 m と直径 2.4 m) からは、岩のブロックとしての変形係数はわかるが、これらの大型テストでも、岩盤全体からみると単に岩の小さな一部分にすぎず、この一軸試験の波及深度も、岩盤の表面から 6~7 m 程度までしか考えられない。まして、ここの複雑な地盤では、限られた試験個数が、ダム基盤の隅々の小岩塊の変形係数をも代表するわけにはゆかない。したがって、これらのジャッキテスト

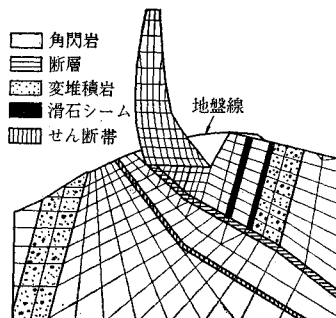


図-1 ダムと岩盤の有限要素分割例

E_c : コアでのせん断弾性係数
 E_d : 現場での変形係数
○は角閃岩でのジャッキテスト結果

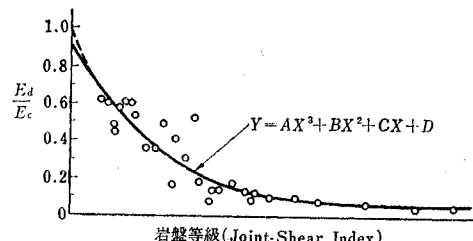


図-2 岩盤等級と係数比の関係図

の結果を岩盤全体に拡張する相關的方法が必要とされ、ここにこのダムで行なった方法を提案する。

(4) 新しい岩盤評価法の提案

現場で行なわれた大型ジャッキテストは小さな不連続面（節理、断口、壁開、小さなせん断面）を含んでいるものとする。諸測定用に現地より採取したコアは、そのなかにある割れ目が含んでいる物質や割れ目の開き具合、風化の状態などについて、地質家により詳細に整理された。そして地表面から 30 cm 間隔にダム基礎岩盤としての等級分けを行なった。

次にコアのなかから、乱されていないものを選び、これによって弾性係数の測定を行ない、この値を使って割れ目のない岩でのジャッキテストの理論変形量を計算する。ここで算出された理論変形量を、実際のジャッキテストで得られた全変形量から差引いて得られる残留変形量は岩盤柱状コアが示す不連続性に相関性をもつものと見なす。いいかえれば、ここにいう Joint-Shear Index 法では、変形係数の減少量を尺度として、不連続性の度合を知り得るものとすることである。

次の段階は、土木、地質家の共同チームによってこの Index を相関的に計量し定めることであった（この報告では、定量的な問題までは言及していない）。

図-2 にコアと現場試験での係数比と岩盤の等級区分との関係図を示す。このなかで横軸は、基礎岩盤の状態（採取コアなど）からダムサイトの岩盤全体について知ることができる。また、ジャッキテストを行なった箇所の変形係数は地表面ではテストの結果が 100% 有効であるとし、深さが 6~7 m でその影響範囲をはずれるものと考えた。

図-2 のような関係式が得られたあとで再び現場でのジャッキテストを行なって、岩盤の等級区分が適正であることを確認した後、有限要素法による解析に移る。

(5) あとがき

開拓局の技術者達は、この方法によって、ダムの基礎評価の壁を打破れるのではなかろうかと考えている。

“土の引張り強度の測定方法について”

“New Method for Determination of Tensile Strength of Soils”

Fang, H.Y. and W.F. Chen
Highway Reserch Record No. 345
Highway Soils Engineering 11 Report (1971)

(1) まえがき

材料の引張り強度に関係するクラックの発生による破

壊が、最近高速道路やフィルダムにおいて問題視されてきている。現場における土質力学的な見地からすると、土の引張り強度は土の強度特性のうちでも、重要なものの一つにあげられるが、一般には土の引張り強度はないものとして考えられてきた。その理由として、土の引張り強度は圧縮強度に比較して小さいこと、および満足な試験方法が確立されていないなどがあげられる。

この論文は土の引張り強度を決定するための新しい簡単な試験方法について述べたものである。また、塑性理論を基にして土の引張り強度を計算するための単純化した公式を誘導した。そして、この論文で述べる圧裂試験 (double punch test) と引裂き試験 (split test) とから決定した引張り強度をコンクリート、モルタル、アスファルトコンクリートなどの種々の材料についても比較検討を行なった。その結果、圧裂試験によって土の引張り強度を求めることができ、しかも室内および現場でも容易に試験が行なえることが判明した。

(1) 圧裂試験の方法

この試験の方法は、図-1 に示すような円筒形の土の供試体の上、下部の中央に置かれた 2 枚の鉄製の載荷盤上に、供試体が破壊するまでゆっくり垂直荷重を加えるものである。土の引張り強度は塑性理論を基にして求めた式 (1) を使って最大載荷重から求める。

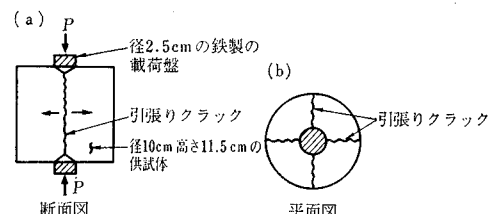


図-1 圧裂試験機の模式図

$$\sigma_t = \frac{P}{\pi(1.0 bH - a^2)} \quad \dots \dots \dots (1)$$

ここに

σ_t : 引張り強度 (kg/cm^2) P : 最大載荷重 (kg)

a : 載荷盤の半径 (cm) b : 供試体の半径 (cm)

H : 供試体の高さ (cm)

である。

Hyland と Chen によるコンクリートおよびモルタルの試験の結果によると、引張り強度に及ぼす供試体の高さと半径、および載荷盤の影響は近似的に比例関係が成立することが示されている。また、Fang によると供試体の高さと直径の比は 0.8~1.2 が適当であり、供試体の直径に対する載荷盤の直径は 0.2~0.3 が適当であることが示されている。一般に、突固めモールド (10 cm × 11.5 cm) による供試体には 2.5 cm の載荷盤が、

CBR モールド ($15 \text{ cm} \times 15 \text{ cm}$) には 3.3 cm の載荷盤がよいとされている。載荷盤は変形しない剛性のものでなければならない。

(3) 実験結果

使用した試料は中ぐらいの塑性をもつ土（液性限界 = 31%，塑性指数 = 10）で、No. 10 ふるいを通過したものを用い、空気乾燥した。供試体の作製には突固めモールドを使用し、3 層に締固めた。1 層あたりの突固め回数は 15, 25, 55 回とした。圧裂試験の載荷速度は 2.5 cm/min とした。同様な供試体について引張き試験と一軸圧縮試験を合せて行なった。

図-2 は打撃回数の異なる 3 種類の試料について、引張り強度と含水比の関係を示したものである。最大引張り強度は最適含水比よりも乾燥した側に存在する。図-3 は突固め密度と引張り強度の関係を示したものである。含水比の高いところでは、密度が増大しても引張り強度はあまり増加しないが、含水比の低いところでは密度が増大するにしたがって引張り強度が急激に増加することが示されている。また、図-4 はコンクリート、モルタル、アスファルトコンクリートなどの引張り強度と土の引張り強度の比較を示したものである。図-4 から、二つの異なる引張り強度試験の結果がよい一致を示していることがわかる。

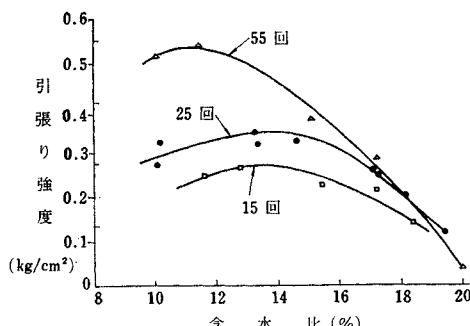


図-2 引張り強度と含水比の関係

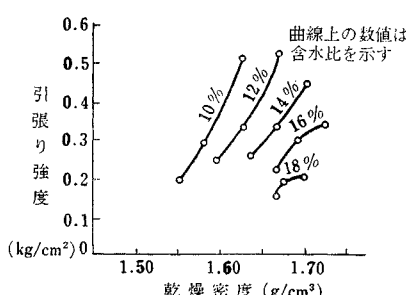


図-3 引張り強度と乾燥密度の関係

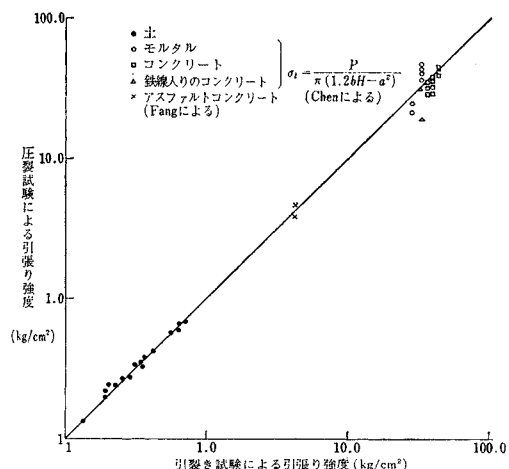


図-4 圧裂試験および引裂き試験から決定した種々の材料の引張り強度の比較

(4) 結論

本試験結果から次のようなことが指摘できる。

- 1) 圧裂試験は試験するうえに簡単であり、しかも容易にできる利点を持っている。そして、一連の CBR 試験、突固め試験と併用してできる。
- 2) 土の引張り強度は式(1)から求めることができる。また、式(1)によって求められた値は引裂き試験の結果ともよく一致している。
- 3) 土の引張り強度は最適含水比の状態よりも乾燥した側に存在する。
- 4) クラックによる破壊が重要視される場合には、材料の引張り強度を試験する必要がある。その意味で、圧裂試験は室内または現場においても試験することができ、便利である。

円柱に作用する揚力の実験的研究

"Laboratory Study of Lift Forces on Circular Piles"
Bidde, D.D.
Proc. of A.S.C.E., WW, Vol. 97, No. 4
pp. 595~614, November (1971)

海洋開発にともない、外海における石油採取基地等の建設が盛んになりつつあり、それらの構造物の経済的設計が望まれている。外海でさまざまな方向の波や潮流の力を受ける構造物部材には、その形状からいって円柱を用いることが最も合理的である。一般に設計にあたっては、波や潮流の力を円柱がその運動方向力 (F_x) のみに受けるとしか考えないが、実際には、同水平面上の直角方向に作用する力、揚力 (F_y) の大きさも無視できない。現場の試験でも本研究の場合のようにパイプが海底につくまでに大きな揚力が作用することが実証されてい

る。この揚力を無視すると振動により構造物部材にクラックを生じ、疲労破壊の原因となる。一般に揚力は波が円柱を通過するとき交互に発生する渦と関連があることから本研究では、渦の発生過程と、揚力と外力方向力との比、 $m = F_y/F_x$ について検討した。実際の外海では、波の状態は、波向、波高、周期ともランダムな現象であるが、ここでは基本的な問題として規則波を用いた。本研究に用いる運動方向力 F_x の算定にあたっては、

$$F_x(t) = C_M \rho \frac{\pi D^2}{4} a + \frac{1}{2} C_D \rho Du|u| \dots \dots \dots (1)$$

$F(t)$ ：円柱の単位長さあたりの x 方向力

C_M, C_D ：慣性、抗力係数、 ρ ：流体の密度

D ：円柱の直径、 u ：円柱における流体 x 方向速度

a ：円柱における流体粒子加速度、

のモリソンの式を用いる。上式での u, a は微少振幅波理論により求めるものとする。

実験に用いた水路は、長さ 30 m、高さ 0.9 m、幅 0.3 m と長さ 60 m、高さ 1.8 m、幅 2.4 m の 2 本を用いた。波力計は高感度かつ低周波の振動にも安定なものを使用した。図-1, 2 に概要が示されるが、外力によって装置中のひずみ棒が曲げられ、取付けられたひずみ計により x, y 成分の張力、圧力を増幅器で取り出すようになっている。検定はあらかじめ反力点を決定し、図-3 のように静荷重で行なった。実験に用いた円柱は、直径 41 mm と 180 mm の 2 種類である。実験波の諸元は、水深 60 cm、波高 0.8 cm~18 cm、周期 0.82 sec~2.0 sec である。実験は最初円柱全体の剛性測定からはじめられ、41 mm 円柱の固有振動数は 56 cps であり、180 mm 円柱のそれは 12 cps であった。図-4 はその固有振動記録の一例である。これらの固有振動数は今回の実験範囲の波や渦の周波数が 5 cps 以下であることから実

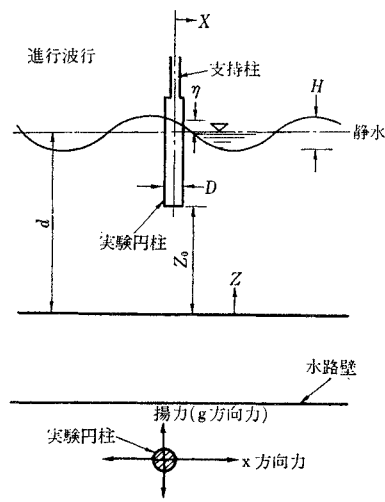


図-1 実験記号説明

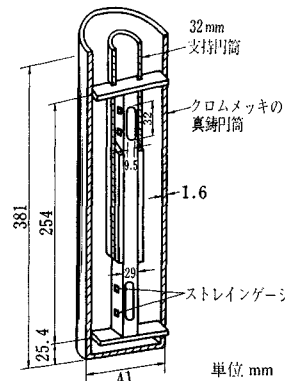


図-2 41 mm 波力計

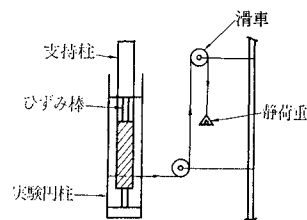


図-3 外力検定法

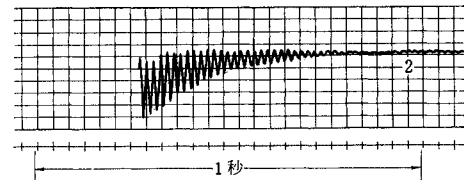


図-4 41 mm 径円柱の固有振動記録

表-1 渦の目視観測 (水深 0.6 m, 41 mm 径円柱)

実験 No.	波 高 (cm)	レイノ ルズ数 (2)	ケーリガ ン・カー ベンダー 数 (3)	形 態 素 描 (4)	形 態 素 描 (5)
周期=2.0 sec					
1	0.8	850	0.9	渦発生せず	
2	1.0	1220	1.3	運動の大きさ径以下	
3	1.4	1680	1.8	わずかに流線はく離	
4	1.8	2140	2.3	非常に弱いカルマン渦列	
5	2.0	2450	2.7	明白なカルマン渦列	
6	2.4	2920	3.2		
7	2.7	3230	3.5		
8	3.0	3700	4.0		
9	3.4	4180	4.6		
10	3.9	4810	5.2		
11	4.6	5610	6.1		
12	5.0	6250	6.8		
13	5.6	6900	7.5		
14	6.1	7550	8.2		
15	6.9	8530	9.3		
16	7.6				
17	8.1				
18	8.6				
19	8.9	11200	12.2		

